



# الگوریتم بهینه تقسیم‌بندی تصاویر میکروسکوپی خون برای تشخیص سلول‌های لوسومی حاد لنفوبلاست با استفاده از الگوریتم FCM و بهینه‌سازی ژنتیک

عباس کریمی\* و لیلا سادات حسینی

گروه مهندسی کامپیوتر، دانشکده فنی و مهندسی، دانشگاه آزاد اسلامی اراک، اراک، ایران

## چکیده

سرطان‌ها گروهی از بیماری‌ها هستند که به صورت رشد بی رویه و خارج از کنترل تعدادی از سلول‌ها، ایجاد می‌شوند و حدود دویست نوع مختلف دارند. سرطان لوسومی (خون) یکی از انواع این سرطان‌هاست. تشخیص سرطان خون در بیمارستان‌ها و مراکز درمانی با تهیه لام از بافت خون و قراردادن زیر میکروسکوب و توسط یک متخصص با تولوزی صورت می‌گیرد. یاتولوزیست‌ها با توجه به شکل و تعداد گلولهای موجود در خون نوع بیماری را مشخص می‌کنند. هدف از این مقاله ارائه مدلی هوشمند با استفاده از الگوریتم<sup>۱</sup> به منظور خوشبندی و شبکه عصبی برای انتخاب ویژگی‌های است: همچنین در آن از الگوریتم ژنتیک در مرحله بهبود الگوهای تشخیصی استفاده شده است. با استفاده از این مدل به تشخیص زودهنگام سرطان لوسومی حاد لنفوبلاست و سیس دسته‌بندی ALL<sup>۲</sup> به سه زیر شاخه مورفولوژیکی (L1، L2 و L3) می‌توان اقدام کرد. در این پژوهش نمونه‌هایی از ۳۸ بیمار سرطانی لوسومی حاد لنفوییدی تهیه شد. این مطالعه بر روی ۶۸ تصویر میکروسکوپی و با درنظرگرفتن پانزده ویژگی هندسی و آماری انجام شد که نتیجه آن حاکی از حساسیت، ویژگی و دقت بالاتر برای ده ویژگی نسبت به سایر ویژگی‌ها بود. بر اساس ویژگی‌های استخراج شده، این روش با سه روش مشابه اخیر مقایسه شد. ارزیابی‌ها نشان داد که روش پیشنهادی به طور میانگین پارامترهای حساسیت، ویژگی و دقت را به میزان ۸۵/۱۵٪، ۱۷٪ و ۹۶/۵۳٪ به دست آورد.

واژگان کلیدی: سرطان خون، الگوریتم FCM، شبکه عصبی، الگوریتم ژنتیک، خوشبندی

## An Optimal Algorithm for Dividing Microscopic Images of Blood for the Diagnosis of Acute Pulmonary Lymphoblastic Cell Using the FCM Algorithm and Genetic Optimization

Abbas Karimi\* & Leila Sadat Hosseini

Department of Computer Engineering, Faculty of Engineering, Arak Branch, Islamic Azad University, Arak, Iran

### Abstract

Cancer is type of disease caused by irregular, uncontrollable growth of blood cells in bone marrow. The process of generating three main blood cells including pallets, red and white blood cells, is started from a progenitor cell called as blast. Blast generates a considerable number of immature cells which are developed affected by differentiation factors. If any interruption occurs during this process, leukemia may be initiated. Diagnosis of leukemia is performed at hospitals or medical centers by examination of the blood tissue smeared across a slide and under a microscope by a pathologist. Processing the digital images of blood cells, in order

<sup>1</sup> Fuzzy C-means Clustering

<sup>2</sup> Acute Lymphoblastic Leukemia

\* Corresponding author

\*\* نویسنده عهده‌دار مکاتبات

to improve the quality of the image or highlighting the malicious segments of the image, is important in early stages of the disease.

There are four types of leukemia consisting acute or chronic and myeloid or lymphocytic. Acute lymphocytic (or lymphoblastic) leukemia (ALL) is concentrated in this study. ALL is caused by continuous generation of immature, malignant lymphocytes in bone marrow which are speeded by blood circulation to other organs.

In this research, fuzzy C-means (FCM) algorithm is applied to blood digital images for clustering purpose, neural networks for feature selection and Genetic Algorithm (GA) for optimization. This model diagnoses ALL at early stages and categorizes it into three morphological subcategories (i.e., L1, L2, and L3). For performance evaluation of the proposed method, 38 samples of patients with ALL were collected. It was performed on 68 microscopic images in terms of 15 features and yielded to higher percentage of sensitivity, specificity, and accuracy for 10 out of 15 features. The proposed method was compared to three recent methods. The evaluations showed that the sensitivity, specificity and accuracy reached to 85.15%, 98.17% and 96.53%, respectively.

**Keywords:** leukemia, FCM algorithm, neural network, genetic algorithm, clustering

لنفوبلاستها نمود می‌کند. در این بیماری گلبول‌های سفید بدخیم و غیربالغ بی‌وقنه در مغز استخوان تکثیر شده و با ممانعت از تولید سلول‌های سالم و بالغ و انتشار به سایر ارگان‌ها سبب بیماری و مرگ می‌شوند. بیشترین شیوع لوکمی لنفوبلاستیک حاد در کودکان ۲ تا ۵ سال دیده می‌شود. از تعداد کل مبتلایان حدود ۸۰٪ کودکان درمان شده و در حدود ۴۵-۶۰٪ بالغین سال‌های طولانی از بیماری رها خواهند بود [2].

تشخیص این بیماری با شرح حال، معاینةٌ بالیتی، شمارش کامل سلول‌های خونی و تهیه اسمیر مغز استخوان صورت می‌گیرد. با توجه به بروز علائم عمومی در این بیماری، بررسی و رد سایر علل احتمالی بروز ناخوشی در کودکان لازم است. در کل هر چه تعداد گلبول‌های سفید خون بیشتر باشد، پیش‌آگهی بدتری صورت می‌گیرد [3].

بیماری سرطان خون با توجه به ویژگی‌های سلول‌های بدخیم و نابالغ تولیدشده به سه دسته ALL 1,2,3 تقسیم‌بندی می‌شود [4].

شیمی‌درمانی خط نخست درمان این بیماری و شامل سه فاز Remission Induction و Intensification و Maintenance Therapy است. در مرحلهٔ نخست فائق آمدن بر لوسی (القائی) (Remission Induction) با هدف کشتن سریع بیشینهٔ سلول‌های توموری صورت می‌گیرد؛ به طوری که کمتر از ۵٪ بلاست‌ها در مغز استخوان باقی مانده، سلول‌های خونی طبیعی و سلول‌های توموری از خون حذف می‌شود. در این مرحله از ترکیب پردنیزولون یا دگراماتازون، وینکربیستین و آسپارازیناز استفاده می‌شود.

در مرحلهٔ دوم درمان، جهت جلوگیری از عود (تشییت) (Intensification) هدف نابود کردن هر چه بیشتر سلول‌های

## ۱- مقدمه

درمان موفقیت‌آمیز سرطان خون در سال‌های اخیر از بزرگ‌ترین دستاوردهای علم پزشکی، به خصوص از جنبه سرطان‌شناسی است و درواقع یک انقلاب پزشکی محسوب می‌شود که تا کنون جان هزاران تن را نجات داده است [1]. سلول‌های خون به سه دسته گلبول‌های سفید، گلبول‌های قرمز و پلاکتها و گلبول‌های سفید خود به دو دسته میلوبیدها و لنفوسيت‌ها تقسيم‌بندی می‌شوند. لنفوسيت‌ها نیز به دو دسته نرم‌مال و غیر نرم‌مال دسته‌بندی شده و همچنان گلبول‌های سفید نیز در صورت نرم‌مال یا غیر نرم‌مال بودن از هم تشخیص داده شده که رده غیر نرم‌مال خود به سه بخش L1 و L2 و L3 تقسيم‌بندی می‌شود که حتی نوع آنها هم از یکدیگر قابل تشخیص است. نحوه تشخیص رده‌های فوق از یکدیگر بر اساس رنگ هسته، اندازه سیتوپلاسم، اندازه هسته و وجود هستک‌ها درون سیتوپلاسم است.

سرطان خون در اثر افزایش تعداد سلول‌های غیرطبیعی و به اصطلاح سلول‌های بلاست در مغز استخوان اتفاق می‌افتد. مغز استخوان برای اینکه بتواند سلول‌های طبیعی شامل گلبول‌های قرمز، گلبول‌های سفید و پلاکت را بسازد، از یک سلول اجدادی به نام «بلاست» آغاز به کار می‌کند. این سلول قدرت زایش و تکثیر بالایی دارد و به سرعت تعداد زیادی سلول نارس می‌سازد. این سلول‌های نارس تحت تأثیر مواد رشدی، کامل شده و به سلول‌های تخصص یافته خونی تبدیل می‌شوند. اگر در روند رشد سلول‌های نارس وقفه ایجاد شود، سرطان خون پدید می‌آید [2].

لوکمی لنفوبلاستیک حاد (ALL) نوعی از لوکمی یا سرطان گلبول‌های سفید خون است که با افزایش تعداد

فصلنامه



الگوریتم مبتنی بر روش خوشبندی k-means تشخیص داده، سپس به جداسازی سیتوپلاسم از بقیه تصویر لام با تکیه بر حد آستانه بر مبنای هیستوگرام سطح خاکستری پرداخته شد. الگوریتم مذکور جهت استخراج هسته و سیتوپلاسم بر روی یکصد داده میکروسکوپی اعمال شد که در تشخیص هسته دارای ویژگی  $82/5$ ، حساسیت  $84$  و دقت  $94/2$  و در تشخیص سیتوپلاسم دارای ویژگی  $78/02$ ، حساسیت  $79$  و دقت  $92/3$  بود. تصاویر دارای وضوح  $576*768$  بود که توسط یک میکروسکوپ نوری معمولی با سه لنز چشمی اخذ شد و توسط یک کارت Pinnacle به منظور دیجیتال‌سازی به یک CCD متصل شده بود. با توجه به اثربخشی نتایج استخراج هسته و سیتوپلاسم در تشخیص نهایی، نتایج حاصل از این دو الگو به صورت جداگانه بدست آمده بود.

در پژوهش دیگر [9] سامانه پیشنهادی با استفاده از ویژگی‌های تصاویر میکروسکوپی به بررسی تغییراتی مانند بافت، هندسه، رنگ و تجزیه و تحلیل آماری از تصاویر پرداخت. این تغییرات به عنوان یک ورودی طبقه‌بندی شده استفاده شد. روش ارائه شده نشان داد که روش مورفولوژیکی خودکار برای شناسایی حاد لنفوسيتی لوسومی (ALL) توسط تصاویر میکروسکوپ از نمونه خون چگونه است. ابتدا ارزیابی در مورد شاخص‌های مورفولوژیکی از سلول‌ها انجام و درنهایت طبقه‌بندی برای تشخیص لوسومی انجام شد.

در مقاله‌ای [10] نمونه‌هایی از پنجاه بیمار سلطانی (لوسومی حاد لنفوسيتی) در آزمایشگاه با لامهای آماده تصاویر مورد نیاز از تمامی سلول‌ها تهیه شد. از این تصاویر به عنوان الگوهای لازم جهت آموزش شبکه‌های عصبی مصنوعی طراحی شده، استفاده شد. نرمافزاری مشکل از سه شبکه عصبی مجزا و دو واحد تشخیص رنگ و اندازه‌گیری مساحت هسته طراحی شد. هر کدام از سه شبکه عصبی به طور جداگانه و با استفاده از تصاویر تهیه شده مورد آموزش قرار داده شدند. این نرمافزار قادر به تشخیص گلبلوی‌های قرمز و سفید از یکدیگر بود.

در پژوهش دیگر [11] نشان داده شد که استخراج اطلاعات مربوطه از داده‌های Microarray کار بسیار پیچیده‌ای است که این ناشی از تعدد ویژگی‌هایی است که به طور طبیعی در داده‌های microarray وجود دارد. از این لحاظ، انتخاب ویژگی یک جنبه بسیار مهم از تجزیه و تحلیل است که در کارهای شناسایی ژن مربوطه و نیز برای بهبود دادن اطلاعات پیش‌بینی کمک می‌کند. در این مقاله، رافائل مارکوس و همکارانش در یک مطالعه مقایسه‌ای بین انتخاب رو به جلو (SFS) و الگوریتم ژنتیک (GA) به عنوان چارچوب کلی برای تجزیه و تحلیل داده‌های Microarray و با هدف شناسایی

توموری است. در بسیاری از پروتکلهای درمانی استفاده از پروفیلاکسی و درمان درگیری CNS در مرحله نخست و دوم مدنظر است. در این مرحله نیز از انواع داروهای شیمی‌درمانی همراه با کورتیکواستروئیدها استفاده می‌شود.

در مرحله سوم پیش‌گیری از عود در دراز مدت (نگهدارنده) (Maintenance Therapy) با هدف نابودی همه سلول‌های توموری انجام می‌شود؛ به طوری که هیچ سلول توموری باقی نماند. چون حتی در صورت باقیماندن تعداد اندکی از آنها، بیماری دوباره عود خواهد کرد. در این مرحله نیز داروهای شیمی‌درمانی همراه با کورتیکواستروئیدها تجویز می‌شوند. این مرحله برای پسران سه سال و برای دختران و بالغین دو سال طول می‌کشد [5].

روش‌های دیگر درمانی چون رادیوتراپی، درمان‌های بیولوژیک [6] و ایمونوتراپی نیز می‌تواند مورد استفاده قرار گیرد. با توجه به افزایش زمان و هزینه درمان در این بیماری، ارایه روش‌هایی که با سرعت و دقت قابل قبولی بتوانند به پیش‌بینی و یا تشخیص سرطان کمک کنند همواره مورد توجه است. تا کنون روش‌های مختلفی برای تشخیص زودهنگام سرطان ارائه شده است که هر کدام به نوبه خود قوت و ضعف‌هایی دارند.

از میان روش‌های مختلف تشخیص سرطان، روش‌های مبتنی بر پردازش تصویر جایگاه ویژه‌ای دارند. در تمام این روش‌ها استفاده از روش‌های پردازش تصاویر دیجیتال به شکل چشم‌گیری به افزایش کیفیت تصویر بافت و درنتیجه افزایش دقت و تشخیص صحیح ضایعه سرطانی منجر می‌شود.

## ۲- بررسی متون

در پژوهشی [7] تصاویر میکروسکوپی به دست آمده از خون و مغز استخوان اسмир بیماران مبتلا به لوسومی حاد لنفوبلاستیک و افراد نرمال پس از اعمال پردازش تصویر، هسته سلول‌ها توسط الگوریتم k-means تقسیم‌بندی شد؛ سپس ویژگی‌های هندسی و آماری از هسته، استخراج و درنهایت این سلول‌ها به سلول‌های سلطانی و غیر سلطانی با استفاده از بردار پشتیبانی ماشین ACM طبقه‌بندی شدند. این سلول‌ها نیز خود به چند نوع توسط ماشین بردار پشتیبان طبقه‌بندی شدند. حساسیت، ارزش و دقت برای سلول‌های سلطانی و غیر سلطانی،  $0.98$  و  $0.95$  بود. طبقه‌بندی توسط این پارامترها انجام و مورد بررسی قرار گرفت. این پارامترها نیز برای ارزیابی سلول به طور متوسط  $0.97/3$ ،  $0.84/3$  و  $0.95/6$  بود.

در پژوهشی دیگر [8] با استفاده از خصوصیت متمایز هسته از بقیه اجزای یک لام خونی، ابتدا آن‌ها را با استفاده از

به دست آمده، سپس اشیای اضافی از خوشه‌ها حذف، و هسته‌ها جدا می‌شوند. الگوریتم FCM یکی از دقیق‌ترین الگوریتم‌ها دسته‌بندی موجود است. این خوشه‌بندی بر مبنای تفکیک رنگ‌ها انجام می‌شود؛ به طوری که هر پیکسل از یک شیء به چهار خوشه دسته‌بندی می‌شود. این خوشه‌ها شامل هسته، پس زمینه و سلول‌های دیگر (گلوبول‌های قرمز و سیتوبلاسم) است. با توجه به اینکه مقاله حاضر بر مبنای الگوریتم FCM است در ابتدا به معرفی این الگوریتم پرداخته شده و در ادامه روش پیشنهادی تفصیل خواهد شد.

#### • خوشه‌بندی فازی c میانگین (FCM)

در خوشه‌بندی فازی هر نمونه ورودی می‌تواند متعلق به یک یا چند خوشه باشد و منحصر به یک خوشه نیست. در این الگوریتم نیز تعداد خوشه‌ها (c) از قبل مشخص شده است، شش دسته برای دسته‌بندی انتخاب شده که اعم از L1-L2-L3-At-N-Re است. این دسته‌بندی‌ها با سه ویژگی ارزیابی شده‌اند که در بخش نتایج به آنها اشاره خواهد شد.تابع هدفی که برای این الگوریتم تعریف شده به صورت رابطه (۱) است که در آن m یک عدد حقیقی بزرگ‌تر از یک است که در پیش‌تر موارد برای m عدد دو انتخاب می‌شود.

$$J = \sum_{i=1}^c \sum_{k=1}^n u_{ik}^m d_{ik}^2 = \sum_{i=1}^c \sum_{k=1}^n u_{ik}^m \|x_k - v_i\|^2 \quad (1)$$

اگر در این رابطه m را برابر یک قرار دهیم، تابع هدف خوشه‌بندی c میانگین (کلاسیک) غیر فازی به دست می‌آید. در این رابطه  $x_k$  نمونه k ام و  $v_i$  نماینده یا مرکز خوشه i ام و  $n$  تعداد نمونه‌ها و  $u_{ik}$  میزان تعلق نمونه i ام در خوشه k ام را نشان می‌دهد. علامت  $\|\cdot\|$  میزان فاصله از مرکز خوشه است که از هر تابعی که بیان گر تشابه نمونه و مرکز خوشه بوده می‌توان استفاده کرد. از یک ماتریس U می‌توان تعریف کرد که دارای c سطر و n ستون است و مؤلفه‌های آن هر مقداری بین صفر تا یک را می‌توانند اختیار کنند. اگر تمامی مؤلفه‌های ماتریس U به صورت صفر و یا یک باشند، الگوریتم مشابه c میانگین کلاسیک خواهد بود.

مراحل کلی الگوریتم FCM به صورت زیر است:  
۱. مقداردهی اولیه برای c، m و U0. خوشه‌های اولیه حدس زده شوند.

۲. مرکز خوشه‌ها محاسبه شوند (محاسبه  $v_i$ ها).

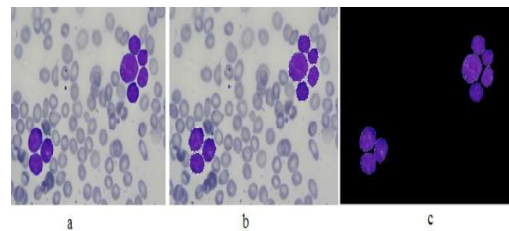
۳. محاسبه ماتریس تعلق از روی خوشه‌های محاسبه شده در مرحله دو.

۴. اگر  $\leq 1-U+1-U$  الگوریتم خاتمه می‌یابد و در غیر این صورت برو به مرحله دو.

گروهی از زن‌ها با قابلیت پیش‌بینی بالا و ارتباط بیولوژیکی انجام دادند. برای پیش‌بینی نتیجه سلطان از شش روش استاندارد و مبتنی بر یادگیری ماشین (تجزیه و تحلیل مشخص (LDA)، ماشین بردار پشتیبان (SVM)، ناو بیز (NB)، شبکه‌های عصبی C-MANTEC (KNN) و پرسپترون چندلایه (MLP) با استفاده از شش مجموعه داده عمومی استفاده شد. نتایج نشان داد پیش‌بینی نتیجه سلطان با استفاده از GA در مقایسه با یک SFS بهتر جواب می‌دهد.

#### ۳- روش پیشنهادی

در این مقاله ترکیبی از سه الگوریتم شامل الگوریتم FCM برای خوشه‌بندی تصاویر و الگوریتم زنتیک برای بهبود نتایج و شبکه عصبی برای دسته‌بندی و تشخیص استفاده شده است. شکل (۱) نشان‌دهنده روندnamای روش پیشنهادی است. در تشخیص بیماری‌ها با استفاده از پردازش تصویر سه مرحله اصلی شامل پیش‌پردازش، پردازش و تشخیص وجود دارد.



شکل-۱(a): (a) تصویر اولیه (b) مرزبندی هسته (c) جداسازی هسته (Figure-1): a) Primary image b) The Image after core boundary c) Separation of the core

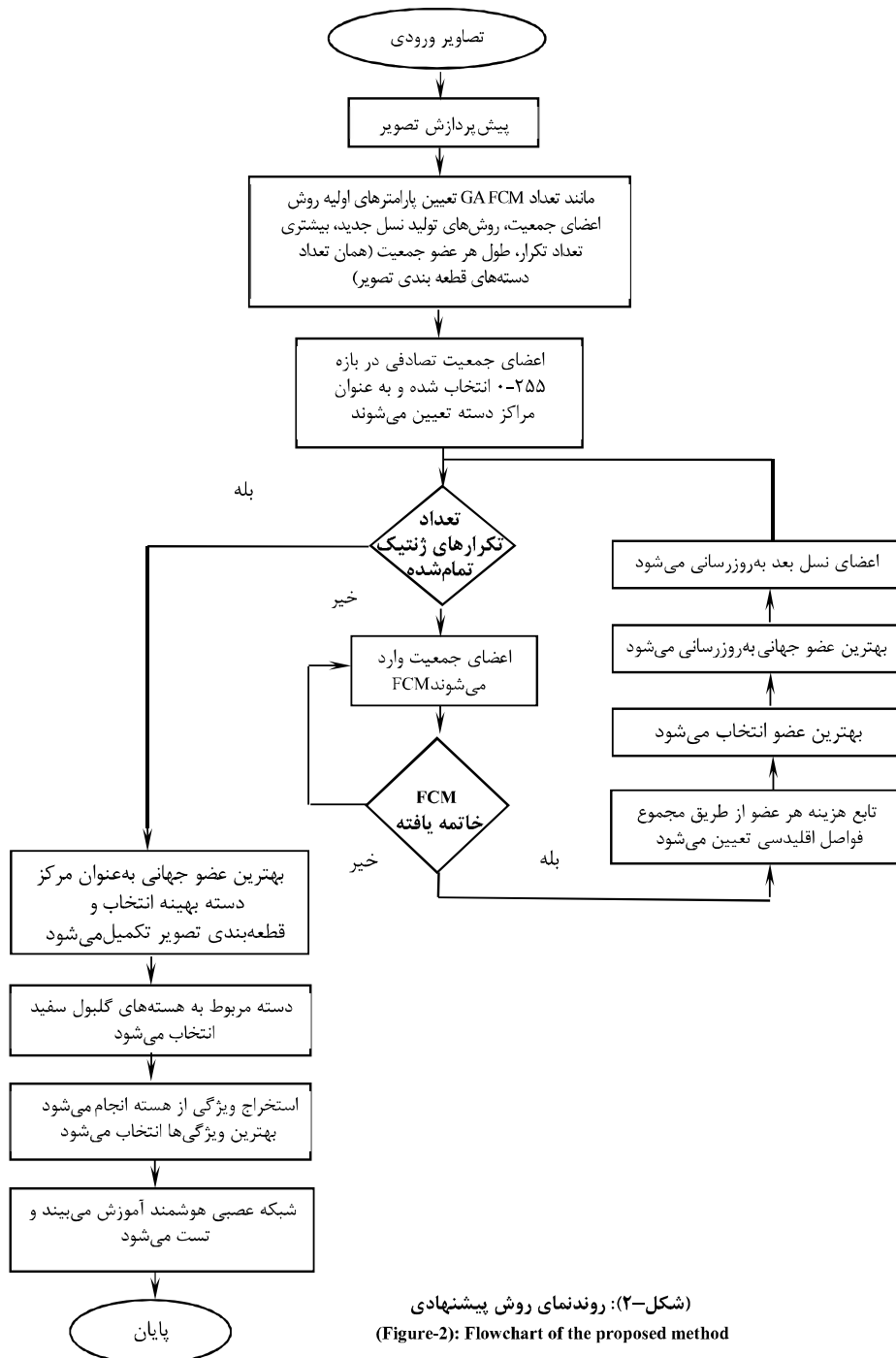
#### • پیش‌پردازش

در پردازش تصویر، استخراج ویژگی و حذف نویه از تصاویر، بسیار مهم است. تصاویر نویه‌دار همیشه باعث اختلال در روند می‌شوند؛ به همین دلیل حذف نویه از تصویر یکی از مهم‌ترین مراحل در پردازش تصویر است چون باعث بهبود در روند تشخیص می‌شود. در مرحله پیش‌پردازش ابتدا تصویر ورودی از یک فیلتر میانه برای ازبین‌بردن نویه‌های موجود عبور داده می‌شود تا یک تصویر نرم و واضح به دست آید.

#### • پردازش

تقسیم‌بندی هسته یکی از کلیدی‌ترین مراحل پردازش است. عملکرد این مرحله، استخراج ویژگی و تقسیم‌بندی را تحت تأثیر قرار می‌دهد. در اینجا هسته طی دو مرحله از تصویر جدا می‌شود. ابتدا مجموعه‌ای از هسته‌ها توسط الگوریتم FCM

فصلنامه  
پردازش و زراعة



$$\begin{aligned}
 &= \sum_{x=1}^X \sum_{y=1}^Y f(x, y) \\
 &= 2 * pi * r \\
 &= \frac{\text{سطح}}{\text{قطر}} = \frac{\text{سطح}}{sqrt(4 * pi)} \\
 &= e = \lim_{n \rightarrow \infty} \left[ 1 + \frac{1}{n} \right]^n \\
 &= \frac{\text{مساحت}}{\text{مساحت بدن مذکوب}} = \frac{\text{مساحت}}{\text{مساحت بدن احتمال}}
 \end{aligned}$$

شش ویژگی باقیمانده مربوط به آنتروپی بافت رنگی از فضاهای  $H^3$ ,  $S^4$  و  $V^5$  در فضای HSV و  $R^6$ ,  $G^7$  و  $B^8$  در فضای RGB استخراج شده است. به طور کلی ۹ ویژگی GCLM از فضای خاکستری و شش ویژگی از فضای رنگی استخراج شده است. رابطه آنتروپی به صورت زیر تعریف می‌شود:

$$= - \sum_{i,j} p(i,j) \times log_2 p(i,j)$$

#### • بهینه‌سازی خوشه‌بندی با استفاده از GA

نتیجه به دست آمده تنها با استفاده از FCM در قطعه‌بندی تصویر، ممکن است، راضی‌کننده نباشد. بنابراین به‌منظور تشخیص سلطان خون، FCM و GA به ترتیب برای تایل شدن به بهترین نتیجه به کار می‌روند. نخست چرخه با خواندن تصویر پذشکی شروع می‌شود و سپس FCM از ویژگی قطعه‌بندی تصویر استفاده کرده و پیکسل‌ها را در گروه‌هایی سازماندهی می‌کند. هر گروه به عنوان یک مرکز خوشه استفاده می‌شود و این مرکز برای GA آماده شده تا راه حل بهینه در تشخیص تصویر انتخاب شود. این الگوریتم از اکنون تا انتهای مقاله GAFCM نام‌گذاری می‌شود.

در روند الگوریتم FCM که یک روند بهینه‌یابی کلاسیک محسوب می‌شود، هدف کمینه‌کردن پارامتر  $J$  در رابطه (۲) است.

$$J = \sum_{i=1}^c \sum_{k=1}^n u_{ik}'' d_{ik}^2 = \sum_{i=1}^c \sum_{k=1}^n u_{ik}'' \|x_k - v_i\|^2 \quad (2)$$

$$d_{ij} = \|c_i - x_j\| \quad d_{ij} = \|c_i - x_j\| \quad (3)$$

<sup>3</sup>Hue

<sup>4</sup>Saturation

<sup>5</sup>Value

<sup>6</sup>Red

<sup>7</sup>Green

<sup>8</sup>Blue

شکل (۲) یک نمونه از تقسیم‌بندی هسته را نمایش می‌دهد. نتایج نشان می‌دهد که خوش با کمینه رنگ قرمز، خوش مربوط به هسته است. به همین دلیل مقدار متوسط قسمت R که از همان بخش‌بندی رنگ RGB است، برای هر خوش محاسبه و خوش با کمینه مقدار متوسط به عنوان مجموعه‌ای از هسته در نظر گرفته می‌شود. بعد از مشخص کردن هسته اگر اشیا یا لکه‌های غیر هسته وجود داشته باشند، حذف می‌شوند.

#### • استخراج و انتخاب ویژگی

این بخش شامل دو مرحله و به شرح زیر است: مرحله نخست استخراج "ویژگی‌های نسل" است که در آن مجموعه‌ای از ویژگی‌های هسته خوشه‌بندی شده توسعه پیدا می‌کند. مرحله دوم "انتخاب ویژگی‌ها" است که در آن مجموعه‌ای مطلوب از ویژگی‌ها که منجر به بدست‌آمدن تشخیص بهینه است، انتخاب می‌شوند.

به منظور تمایز بین سلوول‌ها، باید ویژگی‌های مناسب از سلوول‌ها انتخاب شود. در این مقاله ویژگی‌های هندسی و آماری برای طبقه‌بندی سلوول استفاده شده‌اند. به طور خلاصه ویژگی‌های هندسی دارای اطلاعات در مورد اندازه و شکل هسته‌ها و ویژگی‌های آماری دارای اطلاعات درباره هیستوگرام تصویر سطح خاکستری پیکسل در هسته‌ها است. کل ویژگی‌های استخراج شده برابر با پانزده ویژگی (F8-F15) است که با استفاده از روش مرسوم [12]، ۹ ویژگی مهم که در ذیل نام برده شدند جهت تشكیل بردار ویژگی ماتریس سطح خاکستری رخداد (GLCM)<sup>2</sup> به کار رفته‌ند. (دلیل انتخاب این ویژگی‌ها در جدول (۳) قابل مشاهده است). ۹ ویژگی مربوط به ماتریس GCLM از تصویر Gayscale است که در زیر رابطه‌های ریاضی آنها آمده است.

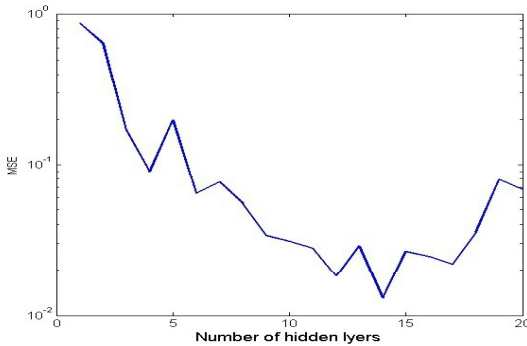
$$\begin{aligned}
 &= \sum_{i,j=0}^{n-1} (p_{i,j})^2 \\
 &= \sum_{n=0}^{N_g-1} n^2 \left\{ \sum_{i=1}^{N_g} \sum_{j=1}^{N_g} p(i,j) \right\}, |i-j| = n \\
 &= \frac{\sum_i \sum_j (i,j) p(i,j) - \mu_x \mu_y}{\sigma_x \sigma_y} \\
 &= \sum_i \sum_j \frac{1}{1 + (i-j)^2} p(i,j)
 \end{aligned}$$

<sup>1</sup>Principal Component Analysis

<sup>2</sup>Gray Level Co-Occurrence Matrix

## محیط آزمایشگاهی

محیط آزمایشگاهی در این کار نرم‌افزار متلب ۲۰۱۱ است. آزمایش‌ها بر روی یک رایانه با پردازنده Core i5 و شش گیگابایت رم و ویندوز هفت انجام شده است. کل زمان پردازش شده برای انجام آزمایش برای هر عکس برابر با ۲۰ ثانیه است.



(شکل-۳): نمودار MSE برای ۲ تا ۲۰ لایه شبکه عصبی  
(Figure-3): MSE Plot for 2 to 20 neural network layers

## ۴- نتایج

در شکل (۴) یک تصویر نمونه و تصویر حاصل از مرحله قطعه‌بندی نمایش داده شده است.

### پارامترهای ارزیابی

جهت ارزیابی روش پیشنهادی پارامترهای حساسیت، ویژگی و دقت استفاده شده‌اند. بدین منظور ابتدا لازم است، مقادیر استخراج شوند که عبارتند از: TP, TN, FP, FN

TP: تعداد تصاویر سرطانی که به درستی سرطانی تشخیص داده می‌شوند، FP: تعداد تصاویر غیر سرطانی که به اشتباه سرطانی تشخیص داده می‌شوند، TN: تعداد تصاویر غیر سرطانی که به درستی سرطانی تشخیص داده نمی‌شوند، FN: تعداد تصاویر سرطانی که به اشتباه غیر سرطانی تشخیص داده می‌شوند.

پارامترهای ارزیابی طبق روابط ۶ تا ۸ قابل محاسبه هستند:

$$\text{حساسیت} = \frac{T_p}{T_p + F_n} \quad (6)$$

$$\text{ویژگی} = \frac{T_n}{T_n + F_p} \quad (7)$$

$$\text{دقت} = \frac{T_p + T_n}{T_p + T_n + F_p + F_n} \quad (8)$$

همان‌طور که در رابطه (۲) مشاهده می‌شود، این کمیت وابسته به  $d_{ij}$  هاست. طبق رابطه (۳)  $d_{ij}$  نیز وابسته مراکز خوش‌های است. حال اگر  $C_i$  ها به‌گونه‌ای انتخاب شوند که کمترین فاصله اقلیدسی با پیکسل‌های درون هر خوش را داشته باشند، می‌توان گفت مقدار  $J$  را به صورت بهینه کاهش داده‌ایم. از این رو به جای استفاده از مرحله دو در الگوریتم FCM در الگوریتم پیشنهادی وظیفه جایابی بهینه مقادیر  $C_i$  را به الگوریتم GA واگذار می‌کنیم. الگوریتم GA در هر بار تکرار مقادیر مختلفی از اعضای جمعیت را تولید کرده و این اعضا وارد روند FCM می‌شوند؛ سپس مقدار  $J$  از فرمول (۲) تعیین و عضوی که کمترین مقدار  $J$  را داشته باشد، به عنوان بهترین عضو انتخاب شده و تصویر با استفاده از این مراکز دسته و مقادیر مختلف تابع عضویت خوش‌بندی می‌شود. بهمنظور دست‌یابی به مقدار بهینه در فرمول (۲) مشتق مرتبه نخست به صورت رابطه (۴) محاسبه می‌شود:

$$\frac{\partial J}{\partial c_j} = \frac{\partial}{\partial c_j} \sum_{i=1}^n (x_i - c_j)^2 = -2 \sum_{i=1}^n (x_i - c_j) = 0 \quad (4)$$

که در نتیجه رابطه (۵) به دست می‌آید:

$$c_j = \frac{1}{n} \sum_{i=1}^n x_i, (j=1,2,\dots,k) \quad (5)$$

در این حالت پس از گذشت چند تکرار، الگوریتم به مقدار ثابتی هم‌گرا می‌شود و مراکز خوش به‌گونه‌ای انتخاب می‌شوند که داده‌های هر خوش بیشترین شباهت را به مرکز خوش داشته باشند.

### • طبقه‌بندی

آخرین مرحله در تشخیص سرطان خون این است که نتایج به دست آمده از تصویر در مراحل قبل را با استفاده از شبکه عصبی طبقه‌بندی کرد. این شبکه با استفاده از تصاویر سرطانی و غیر سرطانی گلوبول‌های خون آموزش داده شد. بهمنظور یافتن تعداد مناسب لایه‌های پنهان در شبکه عصبی، یک شبکه پرسپترون با الگوریتم آموزشی Gradient Descends ساخته شد و با افزایش تعداد لایه‌های پنهان از MSE دو تا بیست نمودار رسم شده در شکل (۳) برای خطای شبکه به دست آمد.

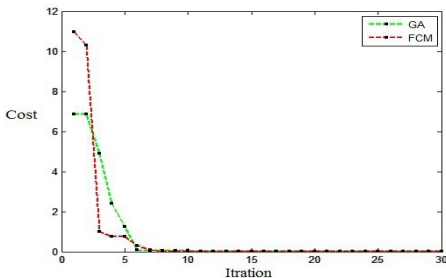
همان‌طور که پیداست، تعداد لایه‌ها در چهارده کمترین MSE را دارد. از این رو شبکه طراحی شده از نوع پرسپترون با چهارده لایه پنهان در نظر گرفته شد.

استخراج شده نسبت به مقدار دقت و حساسیت بیشتر است. در این جدول F ها به ویژگی های استخراج شده از طریق ماتریس GLCM اشاره دارند. در این آزمایش درمی یابیم که مهم ترین ویژگی های مورد نیاز ما که توسط PCA مرتب سازی شده اند، ویژگی های F1 تا F15 است.

(جدول-۳): نتایج حاصل از طبقه بندی با ویژگی های مختلف  
(Table-3): Results of classification for different Features

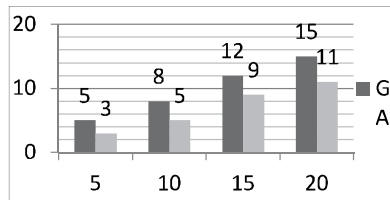
پارامترها	L1	L2	L3	Activ e	Normal	Reactiv e	Mea n
حساسیت	91.0	85.1	96.9	97.0	68.5	72.45	85.15
ویژگی	98.4	96	98.7	99	97.23	99.74	98.17
دقت	96	91.2	98.7	98.44	96.88	98	96.53

نمودار هزینه الگوریتم GAFCM در هر تکرار سنجیده شده و در شکل (۴) نشان داده شده است. نمودار سبزرنگ در این شکل بیان گر الگوریتم GAFCM و نمودار قرمز نشان گر الگوریتم FCM است. به طور کامل مشخص است که سرعت هم گرایی از الگوریتم FCM ژنتیک بیشتر، اما میزان کاهش هزینه در الگوریتم GAFCM بیشتر است.



(شکل-۴): نمودار هزینه برای هر دو الگوریتم  
(Figure-4): Plot of Cost for both algorithms

علاوه بر این، سرعت اجرای هر دو الگوریتم، اندازه گیری و در شکل (۵) نمایش داده شده است.



(شکل-۵): نمودار سرعت اجرای برنامه به ازای تعداد تصاویر مختلف  
(Figure-5): execution time of algorithms for different Images

مشخصه های دقت، ویژگی و حساسیت در روش GAFCM با سه روش اخیر در همین حوزه مقایسه شده است. نتایج این مقایسه در جدول (۴) مشاهده می شود.

(جدول-۱): تعداد تصاویر به ازای هر پارامتر  
(Table-1): The number of images in terms of different Parameters

شماره ویژگی	حساسیت	ویژگی	دقت
F1	40.1	81.47	73.02
F2	41.05	81.59	73.58
F3	41.09	81.48	73.68
F4	41.1	82	73.98
F5	41.3	82.03	74.22
F6	41.5	82.06	74.35
F7	41.6	82.2	74.65
F8	41.9	82.41	74.89
F9	42.8	82.96	75.2
F10	44.1	82.99	75.42
F11	45.89	83	75.88
F12	45.94	83.22	76.1
F13	46.7	83.14	76.2
F14	48.6	83.86	76.55
F15	49.85	84.01	76.87

تعداد تصاویر مورد استفاده در این مقاله برای تصاویر دارای تومور برابر با ۲۱ و برای تصاویر غیر تومور ۲۳ است.

(جدول-۲): نتایج قطعه بندی روش GAFCM  
(Table-2): The Result of GAFCM Segmentation

TP	FN	FP	TN
۲۰	۱	۱	۲۲

جدول (۲) نتایج خوش بندی را در قالب پارامترهای ارزیابی حساسیت، ویژگی و دقت به ازای پارامترهای آماری مختلف نشان می دهد. L1, L2, L3, L4 اشاره دارد و مورفولوژیکی در تشخیص سرطان خون ALL نشان می دهد که چند حالت های active, normal, reactive مشخص است. در صد از موارد شناسایی شده مربوط به بیماران با سرطان فعلی، بدون سرطان و حالت بازگشت سرطان است. حالت میانگین کلی پارامترهای ارزیابی شده را نشان می دهد. همان گونه که از جدول (۲) مشخص است، نتایج حاصل از آزمایش ها نشان می دهد که روش GAFCM نسبت به روش های دیگر از نظر سه مشخصه حساسیت، دقت و ویژگی کارآمدتر است.

جدول (۳) نتایج حاصل از طبقه بندی با ویژگی های مختلف را به ازای سه مشخصه از جمله، حساسیت، ویژگی و دقت مورد بررسی قرار داده است. همان طور که مشاهده می شود، مقدار ویژگی گزارش شده به ازای تمام ویژگی های

- [1] Treatment, and Prognosis of Specific Lymphoid Malignancies. 2015.
- [3] Collier, J.A.B Oxford Handbook of Clinical Specialties, Third Edition. Oxford. 1991; pp. 810. ISBN 0-19-262116-5.
- [4] ACS : How Is Acute Lymphocytic Leukemia Classified?". 2016. [Available from:[http://www.Cancer.org/docroot/CRI/content/CR-I\\_2\\_4\\_3X\\_How\\_Is\\_Acute\\_Lymphocytic\\_Leukemia\\_Classified.asp?nav=crl](http://www.Cancer.org/docroot/CRI/content/CR-I_2_4_3X_How_Is_Acute_Lymphocytic_Leukemia_Classified.asp?nav=crl)].
- [5] Hoffbrand AV, Moss PAH and Pettit JE. "Essential Haematology", Blackwell, 5th ed., 2006.
- [6] Messinger YH, Gaynon PS, Stporto R, van der Giessen J, Eckroth E, Malvar J, et al. Therapeutic Advances in Childhood Leukemia & Lymphoma (TACL) Consortium. "Bortezomib with chemotherapy is highly active in advanced B-precursor acute lymphoblastic leukemia: Therapeutic Advances in Childhood Leukemia & Lymphoma (TACL) Study". Blood. 2012; 120 (2): 285–90.
- [7] Lambrou GI, Papadimitriou L, Chrousos GP, Vlahopoulos SA. "Glucocorticoid and proteasome inhibitor impact on the leukemic lymphoblast: multiple, diverse signals converging on a few key downstream regulators". Mol Cell Endocrinol. 2012; 351 (2): 142–51.
- [8] Halim NH, Mashor MY, Hassan R. Automatic blasts counting for acute leukemia based on blood samples. Int J Res Rev Comput Sci 2:971, 2011.
- [9] Heydari H, Souratgar A.A, Rashidi I, Malekpour N, Parvizi A. Diagnosis of leukemia [a particular type of acute lymphoblastic leukemia by using artificial neural networks. Iranian Student Conference on Electrical Engineering, Tarbiat Modarres University. 24- 26 September 1389.
- [10] Luque-Baena RM, Urda D, Subirats JL, Franco L, Jerez JM. Application of genetic algorithms and constructive neural networks for the analysis of microarray cancer data. Theoretical Biology and Medical Modelling 2014, 11(Suppl 1):S7.
- [11] Soltanzadeh R, Rabbani H, Talebi A. Classification of Three Types of Red Blood Cells in Peripheral Blood Smear in Proc. IEEE Int. Conf. on Signal Processing, pp. 707 – 710, China, 2010.
- [12] Moradi P, Ahmadian S, Akhalghian F. An effective trust-based recommendation method using a novel graph clustering algorithm. Statistical Mechanics and its Applications. Volume 436, 15 October 2015, Pages 462–481
- [13] ZohourParvaz F, Fatemizadeh E, Behnam H. Speed improvement in graph-cuts-based registration for non-rigid image registration of brain magnetic resonance images. JSDP. 2017; 13 (4) :79-92

(جدول-۴): مقایسه روش پیشنهادی با روش‌های پیشین  
(Table-4): Comparison of the proposed and previous method

دقت	ویژگی	حساسیت	روش
%96/53	%98/17	%85/15	GAFCM
%95/6	%97/3	%84/3	(Moradi et al, 2015)
%94/2	%82/5	%84	(soltanzadeh et al, 2010)
%94/3	%97/8	%84/5	(Halim et al, 2011)

همان‌طور که در جدول (۴) مشخص است، روش ترکیبی GAFCM توانسته با دقت، حساسیت و ویژگی بالاتری به تشخیص سرطان خون از روی تصاویر سلول‌های خونی منجر شود.

## ۵- نتیجه‌گیری

انواع لوسمی بر اساس سرعت پیشرفت بیماری و بدتر شدن وضعیت بیماری، گروه‌بندی می‌شود. لوسمی به دو صورت مزمن (بیماری به آرامی پیشرفت می‌کند) یا حاد (بیماری سریع پیشرفت کرده و بدتر می‌شود) است. در این مقاله با استفاده از ترکیب الگوریتم‌های زنتیک و FCM، الگوریتم جدید GAFCM پیشنهاد شد که در بخش خوش‌بندی تصویر نتایج قابل قبولی به همراه داشته و از شبکه عصبی برای دسته‌بندی سرطان‌ها بهره گرفته است. الگوریتم FCM یکی از الگوریتم‌های بهینه در خوش‌بندی است؛ اما به دلیل ضعف آن در به دام افتادگی کمینه‌های محلی، در زمینه قطعه‌بندی هسته‌های سرطانی دچار مشکل می‌شود. ترکیب روش FCM و زنتیک، موجب می‌شود که وظیفه بهینه‌یابی مراکز خوش‌بندی الگوریتم FCM به روش قدرتمند زنتیک محول شود. نتایج شبیه‌سازی روش پیشنهادی و مقایسه آن با دیگر روش‌های تشخیص سرطان خون نشان داد که روش پیشنهادی از درصد بالایی از پارامترهای حساسیت، ویژگی و دقت نسبت به روش‌های پیشین برخوردار است.

## ۶- مراجع

- [1] Amin MM, Kermani S , Talebi A, Oqhli MG. Recognition of Acute Lymphoblastic Leukemia Cells in Microscopic Images Using K-Means Clustering and Support Vector Machine Classifier J Med Signals Sens. 2015 Jan-Mar;5(1):49-58.
- [2] Dan L. Longo, Anthony S. Fauci, Dennis L. Kasper, Stephen L. Hauser, Larry Jameson, Joseph Loscalzo. Harrison's Principles of Internal Medicine, 18th Edition, Chapter 110. Malignancies of Lymphoid Cells. Clinical Features,

عباس کریمی دکترای سامانه‌های امنیت بحرانی، فوق دکترای پردازش تصاویر پزشکی، فوق دکترای شبکه‌های موبایل هوشمند (از دانشگاه UPM)، کارشناسی ارشد مهندسی کامپیوتر نرم‌افزار، کارشناسی مهندسی کامپیوتر سخت‌افزار، عضو هیأت علمی و مدیر دپارتمان مهندسی کامپیوتر دانشگاه آزاد اسلامی اراک، مدیرعامل شرکت پژوهشی دانشبنیان IEEE JDAP Senior Member، عضو هیأت تحریریه و ادیتور چندین ژornal بین‌المللی WOS، عضو انجمن کامپیوتر ایران، با زمینه‌های پژوهشی؛ سامانه‌های تحمل پذیر خطا (بلادرنگ)، پردازش تصاویر پزشکی، امنیت و مانیتورینگ شبکه‌های سیار، شبکه‌های اجتماعی، ارزیابی کارایی سامانه‌های رایانه‌ای است. نشانی ریانامه ایشان عبارت است از:

Akarimi@iau-arak.ac.ir

لیلا سادات حسینی کارشناس ارشد مهندسی رایانه نرم‌افزار دانشگاه آزاد اسلامی اراک، عضو انجمن کامپیوتر ایران، مدیر بخش پژوهش‌ها و توسعه سامانه‌های هوشمند تشخیص سرطان شرکت بیوانفورماتیک IDAP و با زمینه‌های پژوهشی بیوانفورماتیک پزشکی، سامانه‌های مانیتورینگ پزشکی است.

نشانی ریانامه ایشان عبارت است از:  
Rahenorayaneh@yahoo.com

فصلنامه

سال ۱۳۹۷ شماره ۲ پیاپی ۳۶

۵۴